

## CORRESPONDENCE (3)

## 担持酸化バナジウム触媒の表面構造と触媒作用

宮本 明・村上 雄一

名古屋大学工学部合成化学科

〒464 名古屋市千種区不老町

(1984年2月1日 受理)

## Catalytic Reactions on well-Characterized Vanadium Oxide on Support

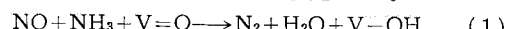
Akira MIYAMOTO and Yuichi MURAKAMI

Department of Synthetic Chemistry, Faculty of Engineering, Nagoya University, Chikusa-ku, Nagoya 464

(Received February 1, 1984)

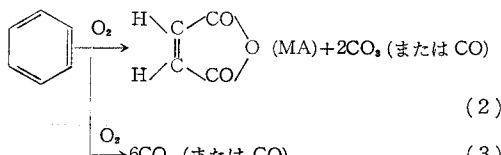
担持金属酸化物触媒は、炭化水素の酸化反応、NOのNH<sub>3</sub>による還元反応などにおいて、担体の種類、触媒組成、調製法等を工夫することにより興味深い触媒作用の違いを示す<sup>1)</sup>。しかし、その作用機構を解明した研究はきわめて少ない。担持酸化物触媒の構造、特に活性点数を決定する方法が欠如していたからである。

V<sub>2</sub>O<sub>5</sub>はFig. 1に示すような層状構造をもつ。V<sup>5+</sup>イオンのまわりに6ヶのO<sup>2-</sup>イオンが配位しているが、そのうち1ヶの酸素イオンはV<sup>5+</sup>イオンとの結合距離が他のものより短く二重結合性酸素(V=O)となっている。なお、V=OはV<sub>2</sub>O<sub>5</sub>の(010)面に存在する。最近、著者らはNO、NH<sub>3</sub>混合ガスとV=Oとの選択的反応[(1)式]を利用するNO-NH<sub>3</sub>矩形パルス法により、担持酸化バナジウム触媒上の表面V=O数(L)および担体上のV<sub>2</sub>O<sub>5</sub>層数(N)を決定した<sup>2)</sup>。



さらに、XRD、IR、ESR、UV-VIS、XPS、TEM、SEMなどの物理化学的測定を行ない担体上のV<sub>2</sub>O<sub>5</sub>の構造を明らかにした<sup>3)</sup>。Fig. 2はV<sub>2</sub>O<sub>5</sub>/TiO<sub>2</sub>、V<sub>2</sub>O<sub>5</sub>/Al<sub>2</sub>O<sub>3</sub>触媒の表面構造の例である。担体の種類やV<sub>2</sub>O<sub>5</sub>担持率により担体上のV<sub>2</sub>O<sub>5</sub>の構造はかなり変化する。低V<sub>2</sub>O<sub>5</sub>担持率のV<sub>2</sub>O<sub>5</sub>/TiO<sub>2</sub>触媒の場合にはTiO<sub>2</sub>表面に選択的にV<sub>2</sub>O<sub>5</sub>の(010)面が拡がる。これはV<sub>2</sub>O<sub>5</sub>の(010)面がTiO<sub>2</sub>表面と結晶学的によく適合するためである。ただし、高担持率V<sub>2</sub>O<sub>5</sub>/TiO<sub>2</sub>ではV<sub>2</sub>O<sub>5</sub>層が厚くなるので種々の結晶面が露出するようになる。V<sub>2</sub>O<sub>5</sub>の(010)面との間の適合が期待できないAl<sub>2</sub>O<sub>3</sub>担体の場合には、V<sub>2</sub>O<sub>5</sub>の(010)面は担体表面にそれほど拡がらない。

構造のわかった触媒の上で種々の型の反応を行うことは、活性、選択性と触媒構造の関係、すなわち固体触媒における基質特異性発現の機構を知る上で大切なことである。著者らは上述のV<sub>2</sub>O<sub>5</sub>/TiO<sub>2</sub>、V<sub>2</sub>O<sub>5</sub>/Al<sub>2</sub>O<sub>3</sub>上の種々の反応分子-H<sub>2</sub>、CO、NH<sub>3</sub>、ベンゼン、トルエン、1,3-ブタジエンなど一の酸化反応をとりあげ系統的研究を行っている<sup>4)</sup>。ここではベンゼン酸化反応を例に、活性、選択性と触媒構造の関係を説明する。V<sub>2</sub>O<sub>5</sub>触媒上のベンゼン酸化反応は(2)、(3)式であらわされる。



(2)式による無水マレイン酸(MA)生成反応、(3)式による完全酸化反応の他にベンゾキノンの生成もあるが、少量なので無視できる。多羅間らはV=O種の活性点としての重要性を指摘しているが<sup>5)</sup>、種々の酸素分圧下での反応速度および触媒構造の測定により、本反応においても表面V=Oが活性点になることがわかった。一般に、触媒反応の速度(R)は活性点数(L)と一活性点当りの反応速度(turnover frequency; TF)の積で与えられる。

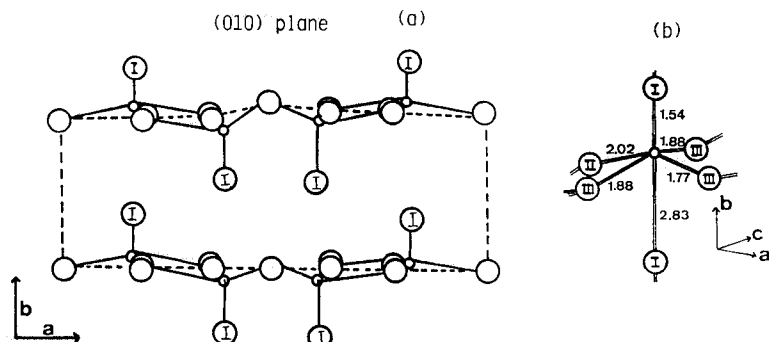
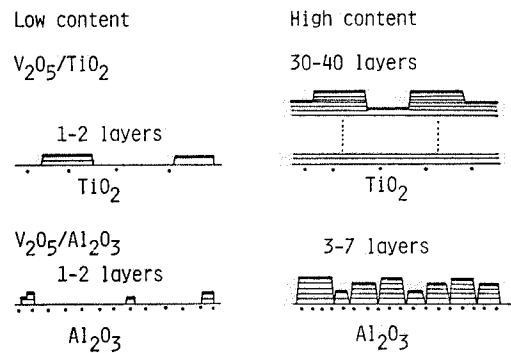
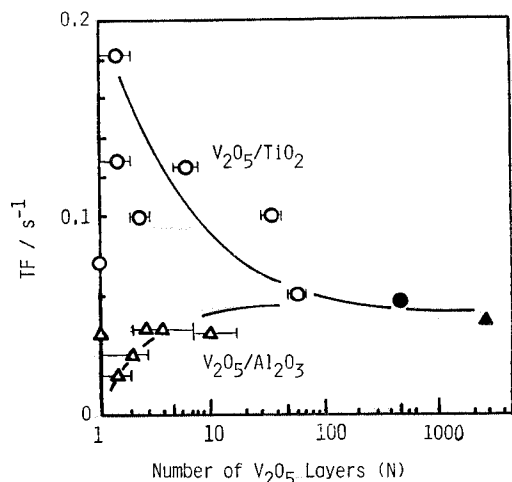


Fig. 1 Crystalline structure of V<sub>2</sub>O<sub>5</sub> (a) and coordination of oxygens around V<sup>5+</sup> ion (b)  
○, V<sup>5+</sup>. ○, O<sup>2-</sup>. ①, double bond oxygen.



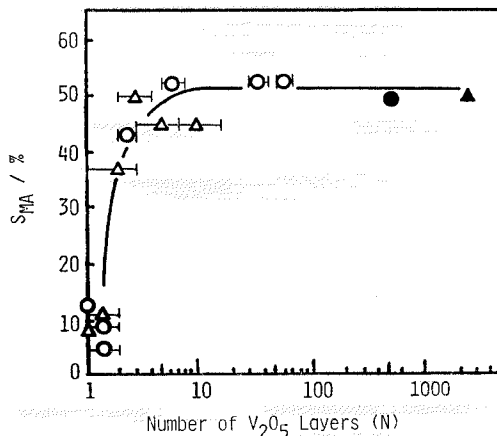
**Fig. 2** Examples of structures of  $V_2O_5/TiO_2$  and  $V_2O_5/Al_2O_3$  catalysts  
Bold line; the (010) face of  $V_2O_5$  exposed to the surface. Small closed circle; inactive vanadium ion incorporated into support.



**Fig. 3** Relationship between TF and N for benzene oxidation at 662 K.  
○;  $V_2O_5/TiO_2$ . △;  $V_2O_5/Al_2O_3$ . ●, ▲; Unsupported  $V_2O_5$ .

$$R = L \cdot TF \quad (4)$$

本研究の場合  $L$  が求まっているので、TF をもとに触媒活性を議論できる。Fig. 3 に TF を担体上の  $V_2O_5$  層数 (N) の関数として示した。R は触媒により複雑に変化するが、活性を TF であらわすとかなり単純な関係になる。 $V_2O_5/TiO_2$  では N が少なくなるにつれて TF は増加するが、 $V_2O_5/Al_2O_3$  の場合には逆に減少する。つまり、同じ 1 個の  $V=O$  でも  $TiO_2$  上の  $V=O$  は单味  $V_2O_5$  や  $V_2O_5/Al_2O_3$  上の  $V=O$  より高活性である。これまで  $TiO_2$  の担体効果については多くの研究があるが、Fig. 3 の結果は TF をもとに  $TiO_2$  の促進効果を証明したはじめての例である。



**Fig. 4** Relationship between SMA and N for benzene oxidation at 662 K.

ベンゼンは(2)式で MA になるか(3)式で  $CO_2$  (または CO) になる。Fig. 4 には MA の選択率 (SMA) と N の関係を示した。 $V_2O_5/TiO_2$  と  $V_2O_5/Al_2O_3$  の構造は著しく相違するにもかかわらず (Fig. 2), SMA は触媒によらず N の関数として与えられる。担体上に  $V_2O_5$  層が 1, 2 層しかない触媒では SMA は低く  $CO_2$ , CO が優先的に生成する。3-5 層以上の  $V_2O_5$  層が形成されると MA への選択酸化反応が進行する。このように、複雑な固体触媒反応の挙動も触媒の表面構造を明らかにすればかなり単純な形に整理できる。

## 文 献

- 1) 清山哲郎: 金属酸化物とその触媒作用 (講談社) (1977).
- 2) A. Miyamoto, Y. Yamazaki, M. Inomata, Y. Murakami: J. Phys. Chem. **85** (1981) 2366; M. Inomata, A. Miyamoto, Y. Murakami: ibid. **85** (1981) 2372.
- 3) M. Inomata, K. Mori, A. Miyamoto, T. Ui, Y. Murakami: J. Phys. Chem. **87** (1983) 754; M. Inomata, K. Mori, A. Miyamoto, Y. Murakami, ibid. **87** (1983) 761; Y. Murakami, M. Inomata, K. Mori, T. Ui, K. Suzuki, A. Miyamoto, T. Hattori, "Preparation of Catalysts III" (1983) p. 531.
- 4) Y. Murakami, M. Inomata, A. Miyamoto, K. Mori: Proc. 7th Intern. Congr. Catal. (1981) p. 1344; K. Mori, M. Inomata, A. Miyamoto, Y. Murakami: J. Phys. Chem. **87** (1983) 4560; K. Mori, A. Miyamoto, Y. Murakami: J. Phys. Chem. in press.
- 5) K. Tarama, S. Teranishi, S. Yoshida, N. Tamura, Proc. 3rd Intern. Congr. Catal. (1964) p. 282.